

## بهینه‌سازی جاذب انرژی لانه‌زنبوری با استفاده از الگوریتم ژنتیک بر اساس سطوح پاسخ و طراحی آزمایش‌ها؛ بخش دوم: فرایند بهینه‌سازی

مریم علیصادقی<sup>۱</sup>، جمشید فضیلتی<sup>۲\*</sup>

۱- کارشناس ارشد، مهندسی هواپیما، پژوهشگاه هواپیما، تهران

۲- استادیار، مهندسی هواپیما، پژوهشگاه هواپیما، تهران

\* تهران، صندوق پستی ۱۴۶۶۵-۸۳۴

### اطلاعات مقاله

مقاله پژوهشی کامل

دریافت: ۰۷ تیر ۱۳۹۴

پذیرش: ۱۶ مهر ۱۳۹۴

ارائه در سایت: ۲۰ آبان ۱۳۹۴

کلید واژگان:

لانه زنبوری

کد المان محدود داینا

جاذب انرژی

سطوح پاسخ

بهینه‌سازی

در این تحقیق، مجموعه جاذب انرژی از نوع لانه‌زنبوری با پیاده‌سازی الگوریتم ژنتیک بهینه‌سازی شده است. هدف بهینه‌سازی، جذب تمام یا بخش عمده انرژی حرکتی سازه و همزمان محدودسازی سطح شوک ایجاد شده است. ابتدا، مشخصه‌های ضربه‌پذیری و حساسیت رفتاری ساختار لانه‌زنبوری در ضربه به صورت روابط صریح ریاضی استخراج و در ادامه از روابط رفتاری استخراج شده جهت بهینه‌سازی استفاده شده است. جاذب انرژی وظیفه مستهلك کردن انرژی برخورد و کاهش آسیب به سازه و محموله آن را بر عهده دارد. بنابراین قابلیت جذب انرژی، همزمان با اعمال محدودیت شوک نیرویی عوامل طراحی تلقی می‌شود. همزمان رعایت قیود حجمی و جرمی مجموعه جاذب از محدودیت‌های طراحی برای استفاده صنعتی است. با استفاده از نتایج بخش نخست مقاله، سطوح پاسخ ساختار لانه‌زنبوری برای تغییر پارامترهای ضربه‌پذیری مانند تنش میانگین و بیشینه استخراج شده است. بهینه‌سازی چنددهفه جاذب انرژی با روش الگوریتم ژنتیک و با استفاده از روابط پاسخ انجام شده است. در بهینه‌سازی، هدف اصلی کمینه‌سازی جرم و حجم جاذب قرار داده شده است و حداقل مجاز نیروی بیشینه و انرژی جذب شده به صورت قید در مساله وارد شده است. خصوصیات هندسی لانه‌زنبوری شامل اندازه سلول، ضخامت، ارتفاع و مساحت از متغیرهای طراحی و ظرفیت جذب، جرم و سطح شوک خروجی بهینه‌سازی هستند. صحت الگوریتم بهینه‌سازی با استفاده از نتایج مراجع ارزیابی شده و مشخصات مجموعه جاذب انرژی برای یک مساله نمونه به دست آمده است. نتایج نشان می‌دهد که بهینه‌سازی جرمی و حجمی نتایج مشابهی ارائه می‌کند و کاهش سطح شوک مجاز، ابعاد جاذب بهینه را به سمت افزایش ارتفاع تغییر داده است.

## Optimization of honeycomb impact attenuator using genetic algorithm based on response surface method and design of experiment; Part II: Optimization

Maryam Alisadeghi, Jamshid Fazilati\*

Aerospace Research Institute, Tehran, Iran.

\* P.O.B. 14665-834, Tehran, Iran, jfazilati@ari.ac.ir

### ARTICLE INFORMATION

Original Research Paper

Received 28 June 2015

Accepted 08 October 2015

Available Online 11 November 2015

**Keywords:**

Honeycomb structure  
LS-Dyna finite element code  
impact attenuator  
response surface  
optimization

### ABSTRACT

In this study, honeycomb energy absorber is optimized using genetic algorithm. The design goal is to absorb whole impact energy within a limited shock load level. First the crashworthiness and parameter sensitivity of honeycomb structure are extracted as explicit functions that are utilized to find optimized shock absorber configuration. Energy absorber must depreciate the impact kinetic energy and mitigate its defects on the structure and aboard. So the energy absorption capacity while the shock load is kept limited is the main design objective. The volume and mass restrictions are also important objectives from an application point of view. Based on the simulation results available in the article Part I, the honeycomb response surfaces of crashworthiness parameters including the mean and peak crushing stresses are extracted. Utilizing the genetic algorithm based on response functions, the multi-objective optimized energy absorber is investigated. The main objective of the optimization problem is set to minimization of mass or volume while the maximum allowable shock and minimum energy absorption capacity are included as the problem constraints. The geometric specifications of honeycomb structure including cell-size, foil thickness, height and absorber face area are among the design variables with optimization outputs of energy absorption capacity, volume, mass, and shock level. Some optimization results are compared with those available in the literature and a typical problem is handled. Results show that mass and volume optimized geometries are almost similar and reduction of acceptable shock level causes the optimized geometry height to rise.

Please cite this article using:

M. Alisadeghi, J. Fazilati, Optimization of honeycomb impact attenuator using genetic algorithm based on response surface method and design of experiment; Part II: Optimization, *Modares Mechanical Engineering*, Vol. 15, No. 12, pp. 37-45, 2015 (in Persian)

برای ارجاع به این مقاله از عبارت ذیل استفاده نمایید:

## 1- مقدمه

سپس بینه‌سازی چند هدفه برای بینه‌سازی انرژی ویژه جذب شده و کمینه‌سازی نیروی بیشینه، انجام گرفته است [10].

در مقاله حاضر با استفاده از نتایج ارائه شده در بخش نخست مقاله، مشخصات جاذب انرژی تعیین و بینه‌سازی شده است. قابلیت جذب انرژی و هم‌زمان، محدودسازی شوک نیرویی در کنار قیود حجمی یا جرمی سامانه جاذب به عنوان عوامل کلیدی و اهداف طراحی در نظر گرفته شده است. جاذب انرژی از نوع ساختار لانه‌زنی بر اساس مکانیکی آلمینیمی است. با استفاده از سطوح پاسخ استخراج شده بر مبنای نتایج شبیه‌سازی عددی، رفتار لانه‌زنی بر اساس تغییر پارامترهای ضربه‌پذیری مانند تنفس میانگین و بیشینه به دست آمده و با استفاده از الگوریتم ژنتیک، بینه‌سازی انجام شده است. با توجه به چند وجهی بودن اهداف بینه‌سازی، هدف اصلی به صورت کمینه‌سازی جرم یا حجم لانه‌زنی بر اساس قید حد بالا برای نیروی بیشینه و قید حد پایین برای سطح انرژی جذب شده قرار داده شده است. خصوصیات هندسه پنل لانه‌زنی بر اساس متغیرهای طراحی و مجھولات مساله است که برای رسیدن به بهترین پارامترهای کارایی جاذب انرژی بینه شده است. همچنین فرایند بینه‌سازی با استفاده از نتایج موجود در مراجع صحت آزمایش شده است و نتایج جدیدی بر مبنای یک مساله مطرح شده جدید ارائه شده است.

## 2- روش حل مساله

در بخش نخست مقاله با استفاده از رویکرد روش طراحی آزمایش‌ها، تعداد نمونه‌های کافی از ساختار لانه‌زنی بر اساس مختلف انتخاب و رفتار آن‌ها در برخورد به صورت عددی در کد اجزای محدود داینا شبیه‌سازی و تحلیل شد. در ادامه، تاثیر مشخصات هندسه لانه‌زنی بر پارامترهای مختلف نیرویی و تنفس بررسی گردید. در این بخش و در ادامه فرایند، با استفاده از نتایج پیش‌گفته و اعمال روش سطوح پاسخ، رفتار ساختار لانه‌زنی بر شکل تابعی صریح از مشخصات هندسی آن استخراج می‌شود و سپس با پیاده‌سازی الگوریتم ژنتیک، بینه‌سازی جاذب انرژی لانه‌زنی بر انجام می‌شود. در شکل 1 نمودار فرایند بینه‌سازی جاذب انرژی با استفاده از سطوح پاسخ و طراحی آزمایش‌ها ارائه شده است. در ادامه این بخش مراحل اولیه پیش از عملیات بینه‌سازی ارائه شده است.

### 2-1- روش سطوح پاسخ

روش سطوح پاسخ مجموعه‌ای از تکنیک‌های ریاضی و آماری است که برای مدل‌سازی و تحلیل مسائلی که در آن پاسخ مطلوب تحت تاثیر چند متغیر است و هدف بینه کردن پاسخ است به کار می‌رود. روش سطوح پاسخ اولین بار توسط باکس و ویلسون<sup>1</sup> در سال 1951 معرفی شده است [11]. با این که روش سطوح پاسخ اولیه برای مدل کردن نتایج آزمایش استفاده می‌شد و سپس برای مدل‌سازی شبیه‌سازی‌های عددی به کار گرفته شد، در حال حاضر این روش، روشی مناسب برای بینه‌سازی بر اساس داده‌های تجربی و نتایج شبیه‌سازی عددی به شمار می‌رود [4]. طراحی آزمایش‌ها روشی با کارایی بالا برای انتخاب نمونه‌ها در فضای طراحی است تا با انجام تعداد مشخصی آزمایش، اطلاعاتی در مورد رفتار یک فرایند به دست آید به گونه‌ای که حداقل میزان اطلاعات با حداقل تعداد آزمایش حاصل شود. چندین روش طراحی آزمایش در دسترس هستند. از میان این روش‌ها می‌توان به روش

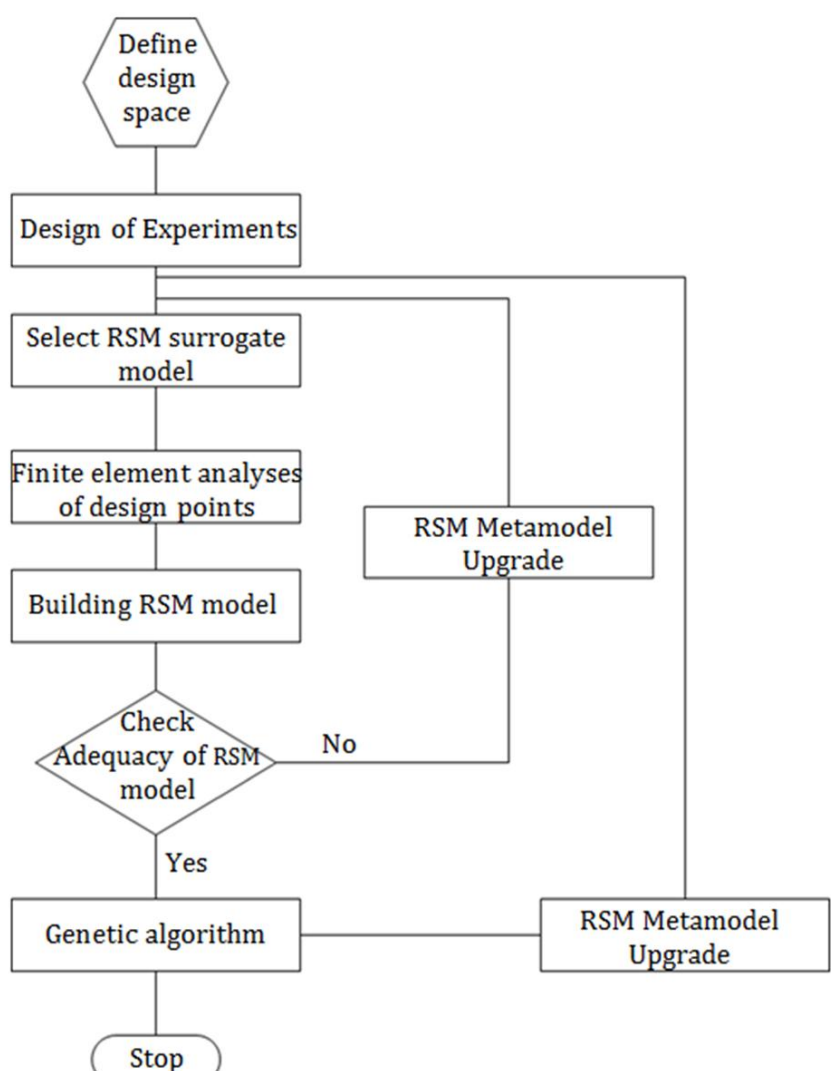
ساخترهای سلولی مانند لانه‌زنی‌ها، به دلیل ظرفیت جذب انرژی و نسبت استحکام به وزن و حجم بالا، به صورت گسترده به عنوان جاذب انرژی و محافظه، در خودروها و صنعت هواپما، راه‌آهن و بخش‌های دیگر مهندسی به کار می‌رود. ویژگی هندسی مهم این دست ساختارها، تکرارشوندگی آن‌ها است که رفتار همسان را در نقاط مختلف تضمین می‌کند. در سالیان اخیر به دلیل افزایش نیاز به تامین اینمی و قابلیت استهلاک انرژی در طی حوادث برخورد وسایل نقلیه، تحقیق بر روی خصوصیات مکانیکی لانه‌زنی‌ها بیشتر مورد توجه قرار گرفته است [1]. مقاومت سازه در برابر ضربه و برخورد یکی از ملاحظات بحرانی در کاربردهای مهندسی است. از آن‌جا که غالباً در ضربه و برخورد، بارگذاری به صورت دینامیکی اتفاق می‌افتد، طراحی سازه‌هایی که توانایی مقاومت در برابر ضربه و کاهش اثر ضربه و برخورد را داشته باشند نیازمند دانش دینامیک سازه و فهم خصوصیات و مکانیزم‌های تغییر شکل مواد و اجزا است [3,2]. علاوه بر تمام مزایای این سازه‌ها، وزن سبک آن‌ها باعث می‌شود که این سازه‌ها در کاربردهای هوایی نیز مقبول و مورد استفاده باشند؛ همچنین مازول جذب ضربه و انرژی، قسمتی مهم از زیرسیستم بازیابی یک کپسول بازگشتی است. به عنوان مثال آپلو 11 نمونه‌ای است که در 4 پایه مازول ماهنشین آن جهت جذب انرژی ناشی از برخورد فرود، لانه‌زنی‌های فلزی به کار گرفته شده است [4]. مطالعات گسترده‌ای به منظور شناخت خصوصیات مکانیکی ساختارهای لانه‌زنی بر اساس بارگذاری مختلف انجام شده است. در سال 2006 زارعی و کروگر، پاسخ دینامیکی فروپیش لوله‌های آلمینیمی را به صورت شبیه‌سازی بررسی کرده است. با کمک روش طراحی آزمایش‌ها و سطوح پاسخ، مساله بینه‌سازی چنددهده بینه‌سازی انرژی جذب شده و انرژی ویژه حل شده است [5]. در سال 2007 هو و همکاران با استفاده از روش سطوح پاسخ و طراحی آزمایش‌ها بینه‌سازی ستون‌های جدار نازک شش وجهی را با مقاطع متفاوت و قیود انرژی ویژه تابع هدف و نیروی بینه‌سازی ارائه کرده‌اند [6]. در سال 2008 زارعی و کروگر، در تحقیقی ضربه محوری و مورب روی جاذب انرژی لوله‌ای با مقطع مربعی پر شده از لانه‌زنی برای این تجربی ارائه کردند. همچنین با استفاده از شبیه‌سازی عددی و با استفاده از سطوح پاسخ و طراحی آزمایش‌ها، قابلیت جذب انرژی لوله‌ها با مقطع مربع، مستطیل و دایره بینه شده است [7]. بی و همکاران در سال 2010 مدل‌سازی و بینه‌سازی ستون‌های شش ضلعی پر شده از فوم را انجام دادند. در تحقیق آن‌ها بینه‌سازی انرژی ویژه جذب شده در ستون‌های شش وجهی تک سلولی و سه سلولی پر شده از فوم آلمینیمی با در نظر گرفتن هندسه، ضخامت ستون و چگالی فوم بررسی شده است [8]. در تحقیقی توسط لی و همکاران در سال 2011، ساختار لانه‌زنی فلزی برای استفاده به عنوان جاذب انرژی یک نمونه ماهنشین طراحی و با استفاده از روابط استخراج شده به روش سطوح پاسخ، بینه‌سازی نسبت به حجم و جرم برای آن انجام شده است [4]. بین و همکاران در سال 2011 بینه‌سازی جاذب انرژی لانه‌زنی بر اساس مشخصات سلول مختلف را انجام دادند. در بینه‌سازی، انرژی ویژه و تنفس بینه‌سازی به عنوان دو تابع هدف اصلی در نظر گرفته شده‌اند در حالی که اندازه و ضخامت سلول و زاویه سلول متغیرهای بینه‌سازی هستند [9]. به علاوه، همان محققان در 2011، مشخصات ضربه‌پذیری قوطی‌های چند ضلعی پر شده از لانه‌زنی برای استفاده از نرم‌افزار المان محدود داینا مورد بررسی قرار دادند؛

اجزای محدود سلول از المان پوسته با فرمولاسیون پیش‌فرض بلیچکو-تسای<sup>۵</sup> و سه نقطه انتگرال گیری در راستای ضخامت استفاده شده است. شکل ۴ نمای مدل عددی و راستای بارگذاری سلول تکرارشونده Y شکل را نمایش می‌دهد. با استفاده از این مدل عددی تحلیل رفتاری تعداد ۲۵ مدل مورد نظر انجام گرفت که نتایج حاصل از آن در بخش نخست مقاله ارائه و مورد تحلیل پارامتری قرار گرفت. با استفاده از نتایج مستخرج از حل عددی، میزان تنش بیشینه و تنش میانگین فروریزش تعیین شده است. تنش بیشینه، حداکثر تنش مشاهده شده در نمودار تنش-کرنش لانه‌زنبری حین فروریزش است و تنش میانگین با استفاده از رابطه (۲) محاسبه شده است.

$$\sigma_m = \frac{F_m}{A} = \frac{\int_0^{\delta_{\max}} F(\delta) d\delta}{A \times \delta} \quad (2)$$

### ۲-۳- استخراج سطوح پاسخ

سطوح پاسخ با برازش یک منحنی مناسب بر روی نتایج حاصل از تحلیل یا آزمایش به دست می‌آید. پارامترهای متغیر در این توابع دو پارامتر هندسی ضخامت فویل و اندازه سلول لانه‌زنبری است. چندجمله‌ای مورد استفاده در اینجا به فرم معادله جبری از درجه ۴ انتخاب شده است. برای ایجاد سطوح پاسخ با درجه ۴ در فضای دو بعدی، حداقل تعداد  $5 \times 5$ ، یعنی ۲۵ نمونه لانه‌زنبری مورد نیاز است که در اینجا این تعداد نتایج وجود دارد. استفاده از توابع درجه بالاتر نیازمند نمونه‌های شبیه‌سازی بیشتر و استفاده از چندجمله‌ای‌های با درجه پایین‌تر فاقد دقت کافی است. فرم درجه چهار مرسوم از توابع پایه، از توابعی به شکل روابط (۳) استفاده می‌کند که در آن  $Xn$  ها نقاط طراحی به دست آمده از آزمایش یا شبیه‌سازی هستند.



**Fig. 1** Flowchart of design and optimization process using response surface method

شکل ۱ نمودار فرایند بینه‌سازی با استفاده از سطوح پاسخ

5- Belytschko-Tsay formulation

فاکتوریل کامل اشاره کرد. در روش فاکتوریل کامل، از تعداد  $r$  نقطه نمونه که در فواصل مساوی از یکدیگر قرار گرفته‌اند، استفاده شده است (یک محدوده مکعب  $n$  بعدی). در این روش،  $n$  تعداد فاکتورها یا متغیرهای مورد بررسی و  $r^n$  تعداد سطوح انتخاب شده برای هر فاکتور یا متغیر است. در این صورت  $(m+1)^n$  نقطه طراحی فاکتوریل مورد نیاز است درجه  $m$  حداقل  $[13,12,9]$ . در این روش معادلات تجربی پارامترهای مورد بررسی مانند نیروی بیشینه یا انرژی جذب شده ویژه توسط چندجمله‌ای‌های اولیه‌ای به صورت رابطه (۱) بیان و تخمین زده می‌شود.

$$y^r(x) = \sum_{i=1}^n \beta_i \varphi_i(c, t) \quad (1)$$

داده‌های مورد استفاده برای تعیین سطوح پاسخ از حل عددی یا شبیه‌سازی مدل‌های تعیین شده توسط روش طراحی آزمایش‌ها قابل استخراج است. در معادله اخیر  $n$  تعداد توابع اولیه  $(c, t)_i$  است که در اینجا به صورت تابعی از دو پارامتر هندسی ضخامت فویل و اندازه سلول بیان شده است. بر اساس نتایج حاصل، یک چندجمله‌ای جبری بر روی نتایج تصویر می‌شود.

در تعیین مدل‌ها دو پارامتر متغیر ضخامت فویل و اندازه سلول ساختار لانه‌زنبری هر کدام در ۵ سطح مقداری مطابق با ابعاد نمونه‌های لانه‌زنبری معروفی شده توسط شرکت هگز-وب<sup>۱</sup> انتخاب شده است [۱۴]. بنابراین در مجموع نتایج تحلیلی برای تعداد ۲۵ نقطه داده‌ای در بخش نخست مقاله در دسترس است.

### ۲-۲- شبیه‌سازی عددی

با توجه به این که سازه لانه‌زنبری، ساختاری تکرارشونده دارد، قسمت تکرار شونده ساختار با در نظر گرفتن شرایط مرزی و قیود مناسب در شبیه‌سازی استفاده شده است. این رویکرد بدون تاثیر بر کلیت مساله، تنها شرایط ساختار در مجاورت با لبه را کنار می‌گذارد و به کاهش حجم محاسبات و افزایش سرعت تحلیل کمک می‌کند. الگوی مورد بررسی و شرایط مرزی آن در شکل ۲ و شکل ۳ ارائه شده است. مدل ماده آلومینیم 5052-H39 با رفتار الاستیک-سخت‌شوندگی خطی<sup>۲</sup> است [۱۵].

شبیه‌سازی عددی در کد اجزای محدود دایانا انجام شد و در آن، سلول لانه‌زنبری بین دو صفحه صلب نزدیک شونده قرار داده شده است. شرایط مرزی گره‌های لبه بالایی سلول، در تمام درجات آزادی جابه‌جاوی و چرخش به‌جز در راستای جابه‌جاوی صفحه صلب و گره‌های لبه پایینی سلول در تمام درجات آزادی مقید شده است. مطابق شکل ۳ شرایط مرزی متقارن در لبه‌های سلول اعمال شده است. جابه‌جاوی در راستای  $u$  و چرخش حول محور  $x$  و  $z$  در دستگاه مختصات محلی، مقید شده است. با بررسی حساسیت به اندازه مشاهده برای اندازه المان‌های ۰.۰۶ تا ۰.۱۵ میلی‌متر، برای دقت بالاتر، اندازه المان ۰.۰۷ میلی‌متر نتایج به اندازه کافی همگرا شده را ارائه کرده است. برای جلوگیری از فرورفتن دیواره‌های شبکه مدل در خودش و سطوح صلب، به ترتیب تماس از نوع سطح به سطح<sup>۳</sup> و تماس از نوع گره با سطح<sup>۴</sup> در نظر گرفته شده است. بین کلیه سطوح دارای تماس، ضریب اصطکاک استاتیکی ۰.۳ و دینامیکی ۰.۲ فرض شده است. در شبکه‌بندی

1- HexWeb

2- Elastic-linear hardening

3- Automatic single surface contact

4- Automatic nodes to surface contact

در این ماتریس،  $M$  تعداد نمونه‌های شبیه‌سازی شده است. از طریق دو معادله فوق ضرایب جملات و توابع استفاده شده، استخراج می‌شود [12,4,3]. روش مدل‌سازی و تحلیل و ابعاد نمونه‌های مورد بررسی به همراه نتایج شبیه‌سازی 25 نمونه لانه‌زنبری در جدول 1 ارائه شده است. در شکل 5 تا شکل 8 سطوح پاسخ مرتبط با تنفس میانگین، تنفس بیشینه و انرژی ویژه نسبت به حجم و حجم ترسیم شده است.

معادلات (6) تا (9) به ترتیب رابطه جبری تنفس بیشینه، تنفس میانگین، انرژی ویژه نسبت به حجم و انرژی ویژه نسبت به حجم را با پارامترهای اندازه سلول و ضخامت فویل لانه‌زنبری بیان می‌کند. در این معادلات  $c$  و  $t$  به ترتیب نماینده مقادیر اندازه سلول و ضخامت فویل هستند. نسبت انرژی به حجم تخریب شده با افزایش اندازه سلول کاهش و با افزایش ضخامت افزایش می‌یابد. نسبت انرژی به حجم تخریب شده با افزایش اندازه سلول، کاهش و با افزایش ضخامت رفتار افزایشی دارد.

$$\begin{aligned} \sigma_p = & 1.61 - 6.757 c + 1275 t + 2.392 c^2 - 300.1 c t - \\ & 1.129e4 t^2 - 0.3506 c^3 + 41.09 c^2 t + 400.4 c t^2 + \\ & 1.178e5 t^3 + 0.019 c^4 - 2.316 c^3 t + 17.52 c^2 t^2 - \\ & 3570 c t^3 - 4.136e5 t^4 \end{aligned} \quad (6)$$

$$\begin{aligned} \sigma_m = & -6.897 + 5.533 c + 346.6 t - 1.399 c^2 - \\ & 230.7 c t + 5406 t^2 + 0.1769 c^3 + 33.58 c^2 t + \\ & 225.8 c t^2 - 5.835e4 t^3 - 0.009185 c^4 - 1.652 c^3 t - \\ & 6.548 c^2 t^2 - 2903 c t^3 + 3.442e5 t^4 \end{aligned} \quad (7)$$

$$\begin{aligned} SEA_{cm} = & -40.91 + 60.58 c + 1442 t - 20.68 c^2 - \\ & 785.9 c t + 1.332e4 t^2 + 3.263c^3 + 16 c^2 t + \\ & 1.304e4 c t^2 - 5.457e5 t^3 - 0.192 c^4 + 4.273 c^3 t - \\ & 705.7c^2 t^2 - 4.262e4 c t^3 + 3.442e6 t^4 \end{aligned} \quad (8)$$

$$\begin{aligned} SEA_{cv} = & -1.096e5 + 1.62e5 c + 3.86e6 t - 5.54e4 c^2 - \\ & 2.106e6 c t + 3.571e7 t^2 + 8745 c^3 + 4.286e4 c^2 t + \\ & 3.496e7 c t^2 - 1.463e9 t^3 - 514.5 c^4 + \\ & 1.145e4 c^3 t - 1.891e6 c^2 t^2 - 1.142e8 c t^3 + \\ & 9.224e9 t^4 \end{aligned} \quad (9)$$

#### 2-4- بررسی دقیقت مدل

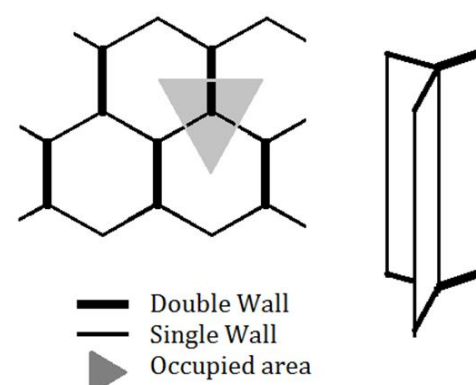
برای تعیین دقیقت مدل تخمینی سطوح پاسخ، پارامترهای آماری تعریف و مقادیر آن‌ها کنترل می‌شود. مقدار  $R^2$  نسبت مجذور مجموع رگرسیون به مجموع مجذورها، و  $R^2_{adj}$  برای اصلاح آماری  $R^2$  در حالتی که پارامترهای غیر ضروری به مدل وارد می‌شود به کار گرفته می‌شوند. این پارامترها در معادلات (10) تا (15) به صورت ریاضی تعریف و بیان شده است. در این روابط،  $y_i$  نتایج به دست آمده از شبیه‌سازی و  $\bar{y}$  میانگین مقادیر  $i$  هستند.  $\hat{y}_i$  نتایج به دست آمده از روابط تخمینی سطوح پاسخ است. مقادیر  $R^2$  و  $R^2_{adj}$  محاسبه شده، مقادیر در محدوده 0 و 1 دارد و هر چه این دو مقدار بزرگ‌تر و به یک نزدیک‌تر و RSME کوچک‌تر و به صفر نزدیک‌تر باشد، نشان‌دهنده دقیق‌تر بودن مدل تخمین به دست آمده است [12,10,4,3].

$$R^2 = 1 - \frac{SSE}{SST} \quad (10)$$

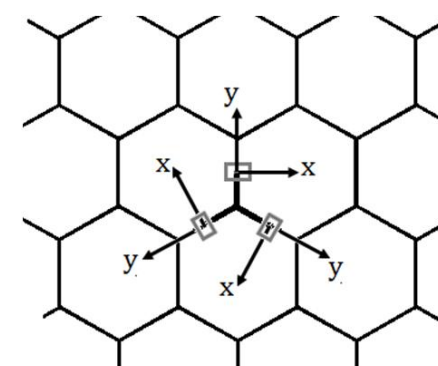
$$R^2_{adj} = 1 - \frac{m-1}{m-n} (1 - R^2) \quad (11)$$

مجموع کل مربعات:

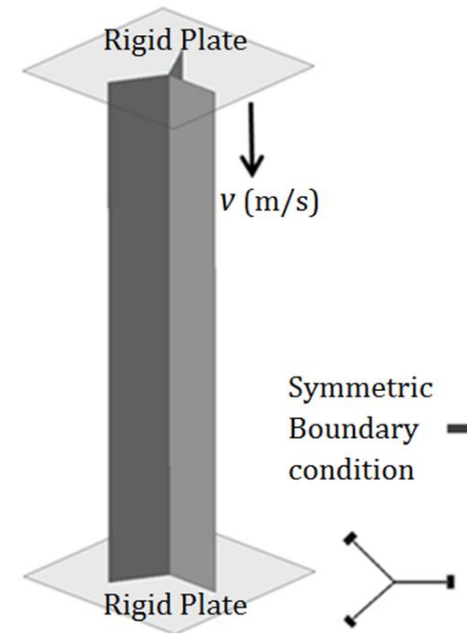
$$SST = \sum_{i=1}^m (y_i - \bar{y})^2 \quad (12)$$



شکل 2 هندسه مقطع لانه زنبری و موقعیت الگوی تکرار شونده Y شکل



شکل 3 شرایط مرزی متقارن



شکل 4 مدل عددی سلول تکرار شونده Y شکل و شرایط بارگذاری آن

$$\begin{aligned} 1, & x_1, x_2, \dots, x_n, \\ & x_1^2, x_1 x_2, \dots, x_1 x_n, \dots, x_n^2, \\ & x_1^3, x_1^2 x_2, \dots, x_1^2 x_n, x_1 x_2^2, \dots, x_1 x_n^2, \dots, x_n^3, \\ & x_1^4, x_1^3 x_2, \dots, x_1 x_n^3, x_1^2 x_2^2, \dots, x_1^2 x_n^2, \dots, x_1 x_2^3, \dots, x_1 x_n^3, \dots, x_n^4 \end{aligned} \quad (3)$$

معادله پایه دارای ترم‌های ضربی و کوپل شده است که اثر مثبتی بر روی دقیقت تقریب دارد. با استفاده از روش حداقل مربعات، ضرایب  $b = (\beta_1, \beta_2, \dots, \beta_n)$  چندجمله‌ای‌ها می‌توانند از معادله (4) به دست آید.

$$b = (\Phi^T \Phi)^{-1} (\Phi^T y) \quad (4)$$

که ماتریس  $\Phi$  به صورت معادله (5) تعریف شده است.

$$\Phi = \begin{bmatrix} \varphi_1(x^{(1)}) & \dots & \dots & \dots & \varphi_n(x^{(1)}) \\ \vdots & \ddots & \ddots & \ddots & \vdots \\ \vdots & \ddots & \ddots & \ddots & \vdots \\ \varphi_1(x^{(M)}) & \dots & \dots & \dots & \varphi_n(x^{(M)}) \end{bmatrix} \quad (5)$$

جدول ۱ نتایج شبیه‌سازی هندسه‌های مختلف

Table 1 Simulation results for different geometries

$\sigma_m$ (MPa)	$\sigma_p$ (MPa)	$t$ (mm)	$C$ (mm)	ردیف
1.7128	7.0309	0.0254	3.175	1
3.1743	10.9758	0.0381	3.175	2
5.3575	14.4168	0.0508	3.175	3
7.6174	17.9242	0.0635	3.175	4
10.5127	21.4866	0.0762	3.175	5
1.1426	5.6154	0.0254	3.9688	6
2.1985	8.8204	0.0381	3.9688	7
3.5830	11.5724	0.0508	3.9688	8
5.4039	14.3537	0.0635	3.9688	9
7.6150	17.1540	0.0762	3.9688	10
0.8498	4.6806	0.0254	4.7625	11
1.6466	7.3595	0.0381	4.7625	12
2.7081	9.6952	0.0508	4.7625	13
3.9746	11.9637	0.0635	4.7625	14
5.6101	14.3056	0.0762	4.7625	15
0.6631	4.0074	0.0254	5.5562	16
1.2725	6.3032	0.0381	5.5562	17
2.1784	8.3335	0.0508	5.5562	18
3.2323	10.293	0.0635	5.5562	19
4.5536	12.3133	0.0762	5.5562	20
0.5455	3.4971	0.0254	6.35	21
1.0568	5.5131	0.0381	6.35	22
1.7776	7.3023	0.0508	6.35	23
2.7792	9.0148	0.0635	6.35	24
3.6662	10.7845	0.0762	6.35	25

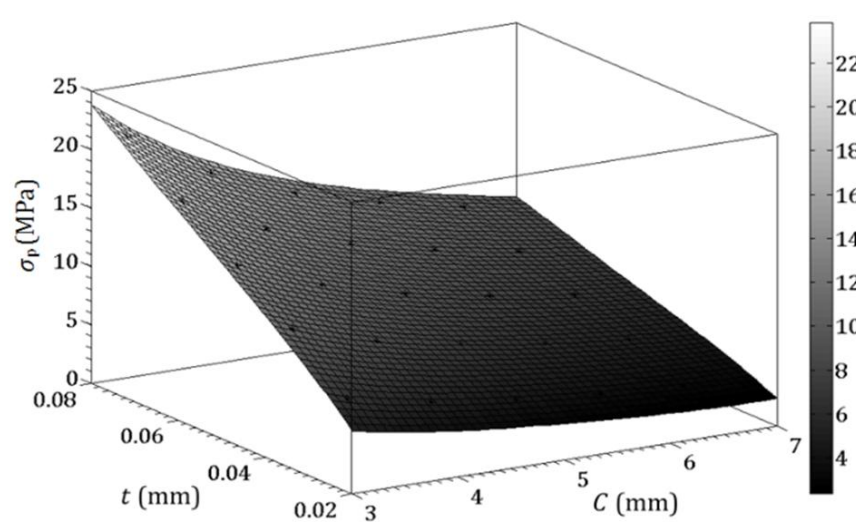


Fig. 5 سطوح پاسخ برای تنش پیک

شکل ۵ سطوح پاسخ برای تنش پیک

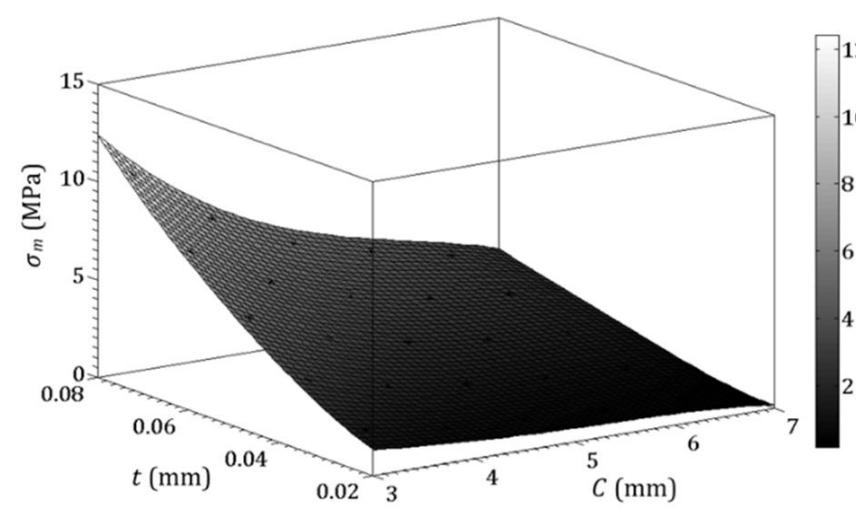


Fig. 6 سطوح پاسخ برای تنش میانگین

شکل ۶ سطوح پاسخ برای تنش میانگین

$$\text{Mجموع مربعات باقیماندها:} \\ SSE = \sum_{i=1}^m (y_i - \hat{y}_i)^2 \quad (13)$$

خطای ریشه میانگین مربعات:

$$RMSE = \sqrt{\frac{SSE}{m}} \quad (14)$$

خطای نسبی:

$$RE = \frac{y_i - \hat{y}_i}{y_i} \quad (15)$$

در جدول ۲ نتایج حاصل از بررسی دقت معادله‌های حاصل از تقریب با درجات مختلف، برای تنش‌های بیشینه و میانگین ارائه شده است. ملاحظه می‌شود که چندجمله‌ای‌های با درجه ۴ دقت بالاتری از تخمین را ارائه کرده است و پارامترهای معیار آن مقادیر مناسب‌تری دارد. استفاده از تقریب‌های با مرتبه پایین‌تر دقت کمتری به دست می‌دهد. ضمن این که استفاده از تقریب درجه چهار در تخمینتابع تنش بیشینه دقت بالاتری دارد.

## ۵-۵- بهینه‌سازی ساختار لانه‌زنبری

تأثیر ضخامت و اندازه سلول بر رفتار سازه‌های لانه‌زنبری پیش از این نیز در مراجع مختلف بررسی شده است با این حال کماکان پیدا کردن و انتخاب چیدمان مناسب لانه‌زنبری به گونه‌ای که بهترین عملکرد را در جذب انرژی داشته باشد و همزمان کمترین شوک نیروی را به جرم متحرک اعمال نماید، موضوعی مهم و قابل توجه است. دلیل این امر تقابل سطح شوک و میزان جذب انرژی با قیود حجمی و جرمی مساله است. حل این تقابل و استخراج پارامترهای قابل قبول مساله طی فرایند تکراری با عنوان کلی بهینه‌سازی یا بنا بر تعریفی بهینه‌یابی قابل انجام است.

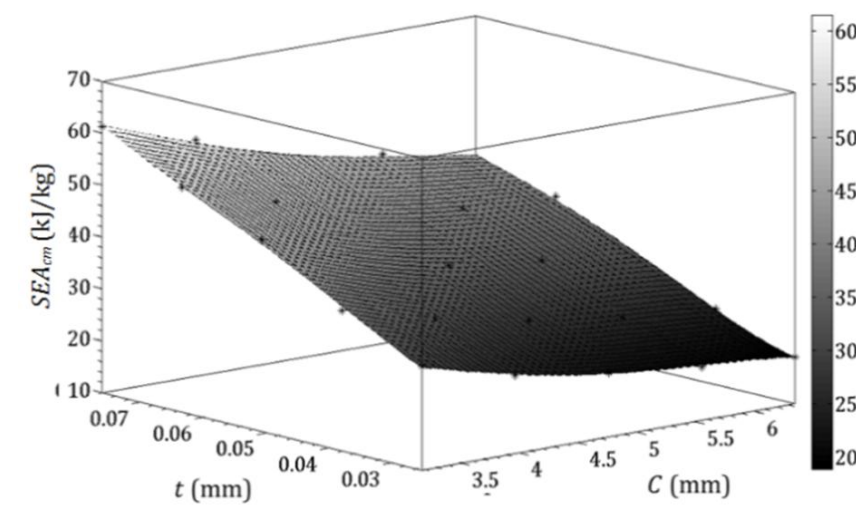


Fig. 7 سطوح پاسخ برای نسبت انرژی جذب شده به جرم تخریب شده

شکل ۷ سطوح پاسخ برای نسبت انرژی جذب شده به جرم تخریب شده

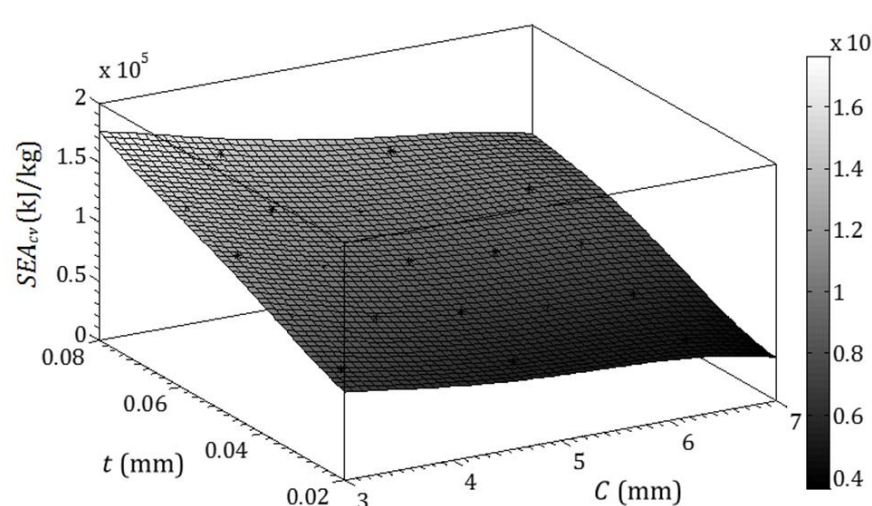


Fig. 8 سطوح پاسخ برای نسبت انرژی جذب شده به حجم تخریب شده

شکل ۸ سطوح پاسخ برای نسبت انرژی جذب شده به حجم تخریب شده

جدول ۳ شرایط طراحی برای جرم بازگشتی نمونه

Table 3 Impacting mass design constraints

اندازه	پارامتر
1000 کیلوگرم	جرم فرود
10 متر بر ثانیه	سرعت برخورد
25 سانتی‌متر	حداکثر طول جذب
45g	سطح شتاب مجاز برخورد

زیستی یا زیربخش‌های سازه تعريف شود تجاوز نکند.

علاوه بر این قیود طراحی این سامانه جاذب به صورت محدودیت حجمی جاذب (محدودیت طول جذب انرژی) و یا محدودیت جرمی آن قابل تعريف است. در طراحی سازه‌های جاذب انرژی، به خصوص در سازه‌های هوافضایی، یکی از مهم‌ترین خصوصیات برای هر زیرسیستم از جمله برای جاذب انرژی، حداقل بودن جرم و حجم آن است. مساله بهینه‌سازی مورد بررسی، تعیین ساختار لانه‌زنبروی با هدف اصلی کمینه‌سازی حجم و جرم جاذب انرژی است. دو هدف دیگر مساله شامل محدود بودن شتاب کاهنده به سطح 45g و برابر بودن انرژی جذب شده توسط ساختار طراحی شده با مجموع انرژی جنبشی جرم متحرک به میزان 50 کیلوژول به صورت قیود مساله اضافه شده است. اندازه سلول، ضخامت فویل، ارتفاع و سطح مقطع مورد نیاز پنل لانه‌زنبروی مورد استفاده به عنوان جاذب انرژی، متغیرهای مساله هستند. حل مساله بهینه‌سازی با استفاده از جعبه ابزار الگوریتم ژنتیک در نرم افزار متلب انجام شده است. معادلات مستخرج از روش سطوح پاسخ به صورت تابع هدف و یا تابع قید در الگوریتم بهینه‌یاب مورد استفاده قرار گرفته است.

## 2-6- صحبت سنجی الگوریتم بهینه‌سازی

برای بررسی درستی کارکرد فرایند بهینه‌سازی با استفاده از الگوریتم ژنتیک، مساله بهینه‌سازی نیروی بیشینه فروریزش یک ستون جدارنازک به طول 400 میلی‌متر با مقطع شش ضلعی در برخورد با سطح صلب در سرعت 10 متر بر ثانیه و دارای یک جرم 500 کیلوگرمی در انتهای بررسی شده است. روابط مربوط به سطوح پاسخ ظرفیت ویژه جذب انرژی و نیروی فروریزش بیشینه نسبت به مختصات هندسی ستون شامل ضخامت دیواره و طول ضلع بر اساس شبیه‌سازی عددی در مرجع [6] ارائه شده است.

دو مساله بهینه‌سازی با هدف بیشینه‌سازی ظرفیت ویژه جذب یکی بدون قید و دیگری در حضور قید سطح بالا برای نیروی بیشینه فروریزش حل شده است. این دو مساله در روابط (17) و (18) بیان شده است.

$$\begin{aligned} \text{minimize: } & y = -SEA(t, l); \\ & 1.4 \text{ mm} \leq t \leq 3 \text{ mm} \\ & 30 \text{ mm} \leq l \leq 60 \text{ mm} \end{aligned} \quad (17)$$

$$\begin{aligned} \text{minimize: } & y = -SEA(t, l); \\ & \text{Max } F(t, l) \leq 70 \text{ kN} \\ & 1.4 \text{ mm} \leq t \leq 3 \text{ mm} \\ & 30 \text{ mm} \leq l \leq 60 \text{ mm} \end{aligned} \quad (18)$$

دو مساله بهینه‌سازی با استفاده از الگوریتم ژنتیک و با تعداد جمعیت اولیه 50 حل شده است. برای مساله اول نتیجه بهینه مشخصات با اندازه  $t=30$  و  $l=30$  به دست آمده است که مطابق با نتیجه ارائه شده توسط مرجع [6] است. مقدار ظرفیت ویژه جذب انرژی 12.61 کیلوژول به کیلوگرم حاصل شده است.

برای مساله دوم نقطه بهینه با مشخصات  $t=30$  و  $l=2.29$  با مقدار SEA برابر 12.05 و نیروی بیشینه 69.9 به دست آمد که مطابقت بسیار خوبی با

جدول ۲ بررسی دقیقیت چندجمله‌ای‌های تخمین سطوح پاسخ

Table 2 Accuracy check results for response surface metamodels

	تابع تقریب	$R^2$	$R^2_{adj}$	RSME	RE %
$\sigma_p$	درجه 1	0.9469	0.9421	1.102	[-22.5593,54.2441]
$\sigma_m$	درجه 2	0.9976	0.997	0.2507	[-10.0628,5.8281]
	درجه 3	0.9999	0.9998	0.05656	[-1.7033,1.5453]
	درجه 4	1	1	0.02061	[-0.2571,0.3241]

با استفاده از روش سطوح پاسخ، اثر ضخامت فویل و اندازه سلول ساختار لانه‌زنبروی بر روی قابلیت‌های جذب انرژی به صورت روابط ریاضی صریح استخراج و بیان شد. این شکل از بیان اثرات پارامترها در کاهش حجم محاسبات و حجم داده در فرایند بهینه‌سازی بسیار کمک‌کننده است. از این روابط در فرایند بهینه‌یابی برای استخراج بهترین مشخصات هندسی لانه‌زنبروی جهت رعایت قیود طراحی استفاده می‌شود.

به صورت عمومی یک مساله بهینه‌سازی به صورت یک معادله ریاضی مشابه با رابطه (16) قابل بیان است [16,17].

$$\begin{cases} \text{optimize} & F(x) = F(f_1(x), f_2(x), \dots, f_q(x)) \\ \text{s.t.} & x \in R^n \text{ and } X^L \leq X \leq X^U \\ & g_u(x) \geq 0, u = 1, \dots, s \\ & h_v(x) = 0, v = 1, \dots, p < n \end{cases} \quad (16)$$

در این رابطه،  $n$  تعداد ابعاد مساله،  $q$  تعداد توابع هدف برای بهینه‌سازی،  $p$  بهترین تعداد قیود از نوع برابری و از نوع نابرابری هستند. روش‌ها و رویکردهای متنوعی برای حل مساله بهینه‌سازی وجود دارد که بسته به نوع مساله و مقید و یا غیر مقید بودن آن و یا تعداد تابع هدف می‌تواند به کار گرفته شود. الگوریتم ژنتیک یک روش بهینه‌سازی است که بر اساس سیر تکاملی در علم زیست‌شناسی پایه‌گذاری شده است. در این روش، در گام اول، یک جمعیت تصادفی در محدوده متغیرهای طراحی تولید می‌شود و در گام بعدی، جمعیت جدید با استفاده از افراد جمعیت قبلی به‌گونه‌ای ایجاد می‌شود که پاسخ‌ها به سمت پاسخ بهینه نزدیک شود. برای مسایلی که ضربه‌پذیری را بررسی می‌کنند، تابع هدف نسبت به متغیرهای طراحی به شدت غیرخطی است و برخلاف سایر روش‌های استاندارد بهینه‌سازی، نشان داده شده است که استفاده از الگوریتم ژنتیک دارای دقت کافی برای حل مساله هست [16].

مساله بهینه‌یابی مورد بررسی شامل انتخاب مشخصه‌های یک جاذب انرژی از نوع ساختار لانه‌زنبروی برای جذب و تخفیف اثرات برخورد یک کپسول فضایی بازگشتی مفروض است. مطابق با جدول ۳ فرض شده است که سازه بازگشتی نوعی در لحظات پیش از برخورد دارای جرم 1000 کیلوگرم و سرعت 10 متر بر ثانیه معادل با انرژی حرکتی 50 کیلوژول باشد. همچنین برخورد با سطح خاک که صلب فرض می‌شود صورت می‌گیرد. از بخش جاذب انرژی دو کارکرد اصلی مورد انتظار است. نخست این که بتواند بخش عده یا تمام انرژی حرکتی کپسول بازگشتی را با فروریزش درونی مستهلك کند. دوم این که در حین فروریزش نیروی وارد شده به کپسول و محموله آن از سطح مشخصی که می‌تواند با توجه به سطح شوک قابل تحمل برای انسان، محموله

مساله بینه‌سازی برای هدف کمینه‌سازی جرم نیز انجام شده است. در مساله بینه‌سازی جرم، تابع هدف عبارت است از کمینه بودن جرم ساختار لانه‌زنبوری که این پارامتر به صورت حاصل ضرب چگالی لانه‌زنبوری در حجم کل ساختار قابل محاسبه است. چگالی لانه‌زنبوری بر حسب اندازه سلول (c)، با استفاده از رابطه‌ای که در مرجع [18] بر حسب اندازه وجه سلول لانه‌زنبوری بیان شده است، به شکل رابطه (20) قابل ارائه است.

$$HD = \frac{1.54 t \rho}{\frac{c}{2 \sin 60}} \quad (20)$$

در این رابطه،  $\rho$  چگالی فلز سازنده لانه‌زنبوری (آلومینیم در اینجا) و  $c$  اندازه سلول آن است. مساله بینه‌سازی جرم به صورت معادله (21) نوشته می‌شود.

$$\begin{aligned} & \text{minimize: } m = HD \times V \\ & \text{s.t.: } F_p = \sigma_p \times A \leq 450 \text{ kN} \\ & E = \sigma_m \times A \times h = 50 \text{ kJ} \\ & 0.0254 \text{ mm} \leq t \leq 0.0762 \text{ mm} \\ & 3.175 \text{ mm} \leq c \leq 6.35 \text{ mm} \\ & 0.01 \text{ m}^2 \leq A \leq 0.8 \text{ m}^2 \\ & 20 \text{ mm} \leq h \leq 250 \text{ mm} \end{aligned} \quad (21)$$

با تعداد جمعیت 50 نفر مساله بینه‌سازی جرم حل شده است. نتایج حاصل از بینه‌سازی بر اساس قید جرمی برای نمونه منتخب در جدول 6 و جدول 7 ارائه شده است. با توجه به نتایج مشاهده می‌شود که بینه‌سازی جرمی نسبت به بینه‌سازی بر مبنای حجم سطح مقطع بیشتر و در عین حال ارتفاع کمی کمتر را توصیه کرده است. با این حال و در مجموع می‌توان گفت، نتیجه فرایند بینه‌سازی برای حجم با بینه‌سازی برای جرم تفاوت بسیار کمی نشان داده و پاسخ مساله بینه‌سازی بر اساس جرم و حجم یکسان است. این مشابهت به ویژه با عنایت به این که تابع جرمی نسبت به تابع حجمی مرتبه بالاتری از تابعیت به ضخامت و طول سلول را دارد، موضوعی جالب توجه خواهد بود.

به منظور بررسی اثر تغییر قیود مساله، مساله بینه‌یابی برای سه سطح شوک مجاز مورد تحلیل و بررسی قرار گرفته است. در این حل، بینه‌یابی بر اساس کمینه‌سازی حجم و با تغییر در قید نابرابری رابطه (19) انجام گرفته است. به عبارت دیگر مساله در حالتی مورد تحلیل قرار داده شده است که سطح شوک قابل تحمل سازه و محموله 40، 45 و یا 50 برابر شتاب جاذبه در نظر گرفته شود. مسایل بینه‌سازی با شرایط مشابه اما با این تفاوت که ارتفاع مجاز برای پنل لانه‌زنبوری 30 سانتی‌متر باشد در نظر گرفته شده است. جدول 8 و جدول 9 به ترتیب مقایسه پاسخ حاصل از سه مساله بینه‌یابی را ارائه نموده است. بر این اساس بینه‌یابی برای هر سه مورد یک مشخصه هندسی با ضخامت فوقی و اندازه سلول یکسان را پیشنهاد کرده است. با کاهش سطح شوک مجاز، سطح مقطع پیشنهادی کمتر شده است و در عوض ارتفاع لانه‌زنبوری مورد نیاز بیشتر شده است تا سطح نیروی وارد به سازه کاهش یابد. با این حال حجم و جرم کل لانه‌زنبوری در سه مساله یکسان حاصل شده است. در شکل 10 هندسه لانه‌زنبوری به دست آمده از بینه‌سازی برای هر سه سطح شوک ترسیم شده است. همچنین در جدول 9 زمان توقف سازه نیز معرفی شده است. این پارامتر عبارت از زمانی است که کل انرژی حرکتی سازه مستهلک می‌شود.

رابطه محاسبه زمان توقف در معادله‌های (22) تا (25) ارائه شده است.

$$E = \frac{1}{2} mv^2 \quad (22)$$

نتیجه ارائه شده در [6] دارد؛ بنابراین صحت محاسبات الگوریتم بینه‌سازی قابل تایید است.

### 3- نتایج مساله بینه‌سازی

صورت مساله بینه‌سازی برای پیدا کردن کمینه حجم ممکن به شکل مجموعه معادلات (19) بیان می‌شود.

$$\begin{aligned} & \text{تابع کمینه‌سازی هدف:} \\ & F_p = \sigma_p \times A \leq 450 \text{ kN} \\ & \text{قید نابرابری بیشینه شتاب کاهنده:} \\ & E = \sigma_m \times A \times h = 50 \text{ kJ} \\ & \text{قید:} \\ & 0.0254 \text{ mm} \leq t \leq 0.0762 \text{ mm} \\ & 3.175 \text{ mm} \leq c \leq 6.35 \text{ mm} \\ & 0.01 \text{ m}^2 \leq A \leq 0.8 \text{ m}^2 \\ & 20 \text{ mm} \leq h \leq 250 \text{ mm} \end{aligned} \quad (19)$$

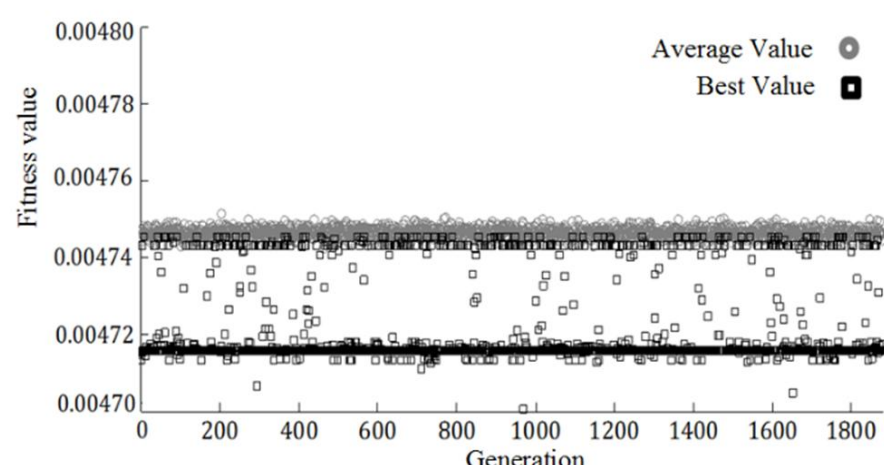
الگوریتم ژنتیک با تعداد جمعیت اولیه 50 استفاده شده است و نتایج مساله کمینه‌سازی حجم جاذب در حضور قیود انرژی و نیروی بیشینه در جدول 4 و جدول 5 ارائه شده است. پاسخ نهایی بینه‌سازی از میان ابعاد قابل انتخاب، پنل لانه‌زنبوری با اندازه سلول 3.175 و ضخامت 0.0762 میلی‌متر و در ابعاد کلی مکعب مستطیلی با سطح مقطع 0.020 متر مربع و ارتفاع 0.234 متر حاصل شده است. جرم پنل جاذب در مجموع 814 گرم و انرژی قابل جذب آن 50 کیلوژول خواهد بود. بر اساس جرم سازه، بیشینه شتاب برخوردهای 44g ایجاد شده است. در شکل 9 نمودار مقدار تابع برازنده‌گی (در این مساله معادل با تابع هدف، یعنی تابع حجم است) و تعداد نسل تولید شده در حین اجرای الگوریتم بینه‌سازی ترسیم شده است.

**جدول 4** هندسه ساختار جاذب حاصل از انجام بینه‌سازی حجمی  
**Table 4** Honeycomb absorber design geometry specifications obtained from volume optimization

اندازه سلول (mm)	ضخامت (mm)	سطح مقطع (m <sup>2</sup> )	ارتفاع (m)
3.1750002	0.07619	0.020303	0.2337

**جدول 5** مشخصات رفتاری جاذب انرژی حاصل از انجام بینه‌سازی حجمی  
**Table 5** Honeycomb absorber design behavior characteristics obtained from volume optimization

پارامتر	مقادیر
نیروی بیشینه (kN)	435.657
نیروی میانگین (kN)	213.924
انرژی جذب شده (kJ)	50.000
حجم کل (m <sup>3</sup> )	0.004745
جرم کل (kg)	0.814



**Fig. 9** Volume function Fitness value-generation curve

شکل 9 نمودار مقدار تابع برازنده‌گی حجم با پیشروع نسل در بینه‌سازی

#### 4- جمع‌بندی

در این مقاله، با استفاده از روش طراحی آزمایش‌ها و تحلیل اجزای محدود صریح، سطوح پاسخ برای پارامترهای ضربه‌پذیری سازه شامل تنش میانگین و بیشینه استخراج شد. جاذب انرژی از نوع ساختار لانه‌زنبری برای جذب انرژی ناشی از برخورد استفاده شده و با به کارگیری الگوریتم ژنتیک در نرم‌افزار متلب، بهینه‌سازی بر اساس توابع هدف حجمی و جرمی جاذب انرژی صورت پذیرفته است. سایر اهداف بهینه‌سازی شامل محدودیت سطح شوک و نیروها و نیز استهلاک انرژی به صورت قیود مساوی و نامساوی اعمال شده است. در بهینه‌سازی معادلات حاصل از سطوح پاسخ به صورت تابع هدف و قیود در الگوریتم مورد استفاده قرار گرفته است. سطوح پاسخ ویژه استخراج شده برای ساختارهای در دسترس از لانه‌زنبری حاصل شده است که با توابع ارائه شده در سایر مراجع متفاوت بوده است. در بخش نتایج نشان داده شد که الگوریتم بهینه‌سازی کارایی و صحت لازم را دارد. سپس برای یک مساله برخورد جدید بهینه‌سازی انجام شده است. بهینه‌سازی با کمینه‌سازی تابع حجم با کمینه‌سازی تابع جرمی مقایسه شد. نتایج نشان می‌دهد این دو بهینه‌سازی علیرغم تفاوت در تابع برآش، به یک پاسخ یکسان منتهی شده است که به معنای هم‌ارزی بهینه‌سازی جرمی و بهینه‌سازی حجمی برای ساختار جاذب لانه‌زنبری است. بررسی تاثیر تغییرات قیود اعمالی بر نتیجه بهینه‌سازی نیز انجام شده است. نتایج نشان می‌دهد که ساختار لانه‌زنبری قابلیت استفاده به عنوان جاذب انرژی و کاهنده شوک در مساله طرح شده را دارد. به علاوه با تغییر قید مساله و کاهش سطح شوک مجاز برخورد، ابعاد جاذب انرژی به سمت بیشتر شدن ارتفاع در حجم ثابت تغییر کرده است که این تغییر به افزایش زمان توقف نیز منتهی می‌شود.

#### 5- فهرست علائم

مساحت ( $m^2$ )	$A$
شتاب ( $m/s^2$ )	$a$
اندازه سلول ( $m$ )	$C$
انرژی ( $J$ )	$E$
نیرو ( $N$ )	$F$
ارتفاع ( $m$ )	$h$
طول ( $m$ )	$L$
اندازه یک ضلع شش ضلعی ( $m$ )	$l$
جرم ( $kg$ )	$m$
ضخامت ( $m$ )	$T$
زمان ( $s$ )	$t$
سرعت ( $ms^{-1}$ )	$v$
حجم ( $m^3$ )	$V$
علائم یونانی	
تنش ( $Pa$ )	$\sigma$
چگالی ( $kgm^{-3}$ )	$\rho$
زیرنویس‌ها	
میانگین	avg
میانگین	$m$
بیشینه	$p$

$$F_{avg} = \frac{E}{h} \quad (23)$$

$$a = \frac{F_{avg}}{m} \quad (24)$$

$$t = \frac{(-v + \sqrt{v^2 + 2ah})}{a} \quad (25)$$

هر چه سطح شتاب مجاز کمتر شود، طراحی به سمتی متمایل می‌شود که زمان توقف بالاتری را سبب می‌شود. به عبارت دیگر نیروی کمتر در مدت زمان بیشتر اعمال می‌شود.

جدول 6 هندسه ساختار جاذب حاصل از انجام بهینه‌سازی جرم

Table 6 Honeycomb absorber design geometry specifications obtained from mass optimization

اندازه سلول (mm)	سطح مقطع ( $m^2$ )	ضخامت (mm)	ارتفاع (m)
0.07620	0.0203162	0.2336	3.175002

جدول 7 مشخصات رفتاری جاذب حاصل از انجام بهینه‌سازی جرم

Table 7 Honeycomb absorber design behavior characteristics obtained from mass optimization

پارامتر	مقدار
نیروی بیشینه (kN)	435.932
نیروی میانگین (kN)	214.059
انرژی جذب شده (kJ)	50.000
حجم کل ( $m^3$ )	0.004745
جرم کل (kg)	0.814

جدول 8 هندسه ساختار جاذب حاصل از انجام بهینه‌سازی

Table 8 The optimized honeycomb absorber design geometry specifications

سطح شتاب مجاز	اندازه سلول (mm)	ضخامت فویل (mm)	سطح مقطع ( $m^2$ )	ارتفاع (m)
40g	3.175	0.07620	0.016365	0.290
45g	3.175	0.07619	0.020303	0.234
50g	3.175	0.07620	0.021851	0.217

جدول 9 مشخصات رفتاری جاذب انرژی حاصل از انجام بهینه‌سازی

Table 9 The optimized honeycomb absorber design behavior characteristics in impact

پارامتر	50g	45g	40g
نیروی بیشینه (kN)	468.855	435.657	351.153
نیروی میانگین (kN)	230.225	213.924	172.429
انرژی جذب شده (kJ)	50.000	50.000	50.000
حجم کل ( $m^3$ )	0.004745	0.004745	0.004745
جرم کل (kg)	0.814	0.814	0.814
زمان توقف (s)	0.0180	0.0194	0.0240

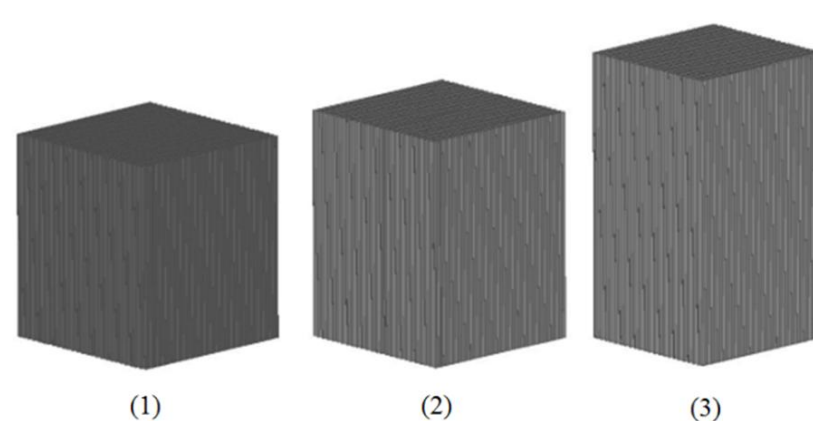


Fig. 10 Optimized honeycomb geometries for three shock level

1) 40g 2) 45g 3) 50g

شکل 10 هندسه بهینه برای سه سطح شوک. 1) 40g 2) 45g 3) 50g

## 6- مراجع

- structures under axial dynamic loading, *International Journal of Computational Methods*, Vol. 8, No. 4, pp. 863–877, 2011.
- [10] H. Yin, G. Wen, S. Hou, and K. Chen, Crushing analysis and multi objective crashworthiness optimization of honeycomb-filled single and bitubular polygonal tubes, *Materials and Design*, Vol. 32, No. 8–9, pp. 4449–4460, 2011.
- [11] G. E. P. Box and K. B. Wilson, On the experimental attainment of optimum conditions, *Journal of the Royal Statistical Society. Series B*, Vol. 13, No. 1, pp. 1–45, 1951.
- [12] S. Hou, Q. Li, S. Long, X. Yang, and W. Li, Design optimization of regular hexagonal thin-walled columns with crashworthiness criteria, *Finite Elements in Analysis and Design*, Vol. 43, No. 6–7, pp. 555–565, 2007.
- [13] D. C. Montgomery, *Design and analysis of experiments*. Seventh Edition, pp. 180–242, New York: John Wiley & Sons, 2008.
- [14] *Technology Brochures: Honeycomb Attributes and Properties*, Accessed 20 June 2015; www.hexcel.com/Resources.
- [15] F. Zhu, L. Zhao, G. Lu, and E. Gad, A numerical simulation of the blast impact of square metallic sandwich panels, *International Journal Impact Engineering*, Vol. 36, No. 5, pp. 687–699, 2009.
- [16] M. Shakeri, R. Mirzaifar, and S. Salehghaffari, New insights into the collapsing of cylindrical thin-walled tubes under axial impact load, *Part C: Journal of Mechanical Engineering Science*, Vol. 221, No. 8, pp. 869–885, 2007.
- [17] S. Hou, X. Han, G. Sun, S. Long, W. Li, X. Yang, and Q. Li, Multiobjective optimization for tapered circular tubes, *Thin Walled Structures*, Vol. 49, No. 7, pp. 855–863, 2011.
- [18] T. Bitzer, *Honeycomb Technology, Materials, Design, Manufacturing, Applications and Testing*, First Edition, pp. 20–22, Usa: Chapman and Hall, 1997.
- [1] S. Xu, J. Beynon, D. Ruan, and T. Yu, Strength enhancement of aluminium honeycombs caused by entrapped air under dynamic out-of-plane compression, *International Journal of Impact Engineering*, Vol. 47, pp. 1–13, 2012.
- [2] G. Petrone, S. Rao, S. De Rosa, B. R. Mace, F. Franco, and D. Bhattacharyya, Behaviour of fibre-reinforced honeycomb core under low velocity impact loading, *Composite Structures*, Vol. 100, pp. 356–362, 2013.
- [3] M. Li, Z. Deng, H. Guo, R. Liu, and B. Ding, Optimizing crashworthiness design of square honeycomb structure, *Journal of Central South University*, Vol. 21, pp. 912–919, 2014.
- [4] M. Li, Z. Deng, R. Liu, and H. Guo, Crashworthiness design optimization of metal honeycomb energy absorber used in lunar lander, *International Journal of Crashworthiness*, Vol. 16, No. 4, pp. 411–419, 2011.
- [5] H. R. Zarei and M. Kröger, Multiobjective crashworthiness optimization of circular aluminum tubes, *Thin Walled Structures*, Vol. 44, No. 3, pp. 301–308, 2006.
- [6] S. Hou, Q. Li, S. Long, X. Yang, and W. Li, Design optimization of regular hexagonal thin-walled columns with crashworthiness criteria, *Finite Elements in Analysis and Design*, Vol. 43, No. 6–7, pp. 555–565, 2007.
- [7] H. Zarei and M. Kröger, Optimum honeycomb filled crash absorber design, *Materials and Design*, Vol. 29, No. 1, pp. 193–204, 2008.
- [8] J. Bi, H. Fang, Q. Wang, and X. Ren, Modeling and optimization of foam-filled thin-walled columns for crashworthiness designs, *Finite Elements in Analysis and Design*, Vol. 46, No. 9, pp. 698–709, 2010.
- [9] H. Yin, G. Wen, and N. Gan, Crashworthiness design for honeycomb